

(株)名村造船所 研修生 正会員 ○ 川崎 進
運輸省港湾技術研究所 正会員 長尾 納

1. まえがき 桟橋上部工床版部の設計において、トラッククレーンのアウトリガー反力のような部分等分布荷重が作用する場合には、従来よりピジョウの計算図表を用い、断面力を算定していた。しかし、ピジョウの計算図表を用いた方法では、最大モーメントがただ一つしか算出されないことから、版の中央部と支承部のモーメントの絶対値を同一とみなして鉄筋を配筋している。本研究では、FEM解析を実施し、ピジョウの方法による値との断面力の比較検討を行った。また、ピジョウ、FEM解析により算出された断面力を使用し、床版部の終局・使用・疲労限界状態の検討を行い、必要な鉄筋量を算出し比較検討を行った。

2. 計算の概要

1) ピジョウの計算図表を用いた方法 桟橋の1区画を取り出し、4辺準固定の版にトラッククレーンアウトリガー反力の最大値を部分等分布荷重として載荷した。曲げモーメントは、ピジョウの計算図表と、下式に示す近似式より算出した。その際、モーメントの値は準固定版の場合、床版中央で $+M$ 、固定端で $-M$ になるとして計算した。

$$M_s = \eta (M_1 + \nu \times M_2) \times P$$

$$M_l = \eta (M_2 + \nu \times M_1) \times P$$

ここに、 M_s, M_l ：短スパン方向、長スパン方向
の曲げモーメント (kN·m)

η ：固定条件による係数 (=0.8:準固定版)

ν ：ポアソン比 (=0.15:鉄筋コンクリート)

P ：版に作用する荷重の合力 (kN)

M_1, M_2 ：曲げモーメント分配係数

2) FEMを用いた方法 実際の桟橋上での作業を考え、トラッククレーンアウトリガー反力 ($P_1 \sim P_4$) 4点を張出し部を含む4区画に載荷し、床版上を移動させ、最大となる断面力を求めた。FEM解析はNASTRANを使用した弾性解析とした。桟橋上部工のモデルは杭位置でz方向(鉛直方向)を完全固定とし、x方向・y方向(水平方向)は中央の杭のみ固定し、他の杭は自由とした。

3) 解析モデルの諸元と安全係数 解析モデルの側面図を図-1、平面図を図-2、断面の詳細を図-3、材料強度の特性値を表-1に示す。トラッククレーンは35t吊タイプとした。アウトリガー反力は図-4に示す通りである。安全係数は文献¹⁾による値を用いた。

3. 解析結果の比較

1) 断面力の比較 FEM解析による断面力の例を図-5に示す。桟橋上部工

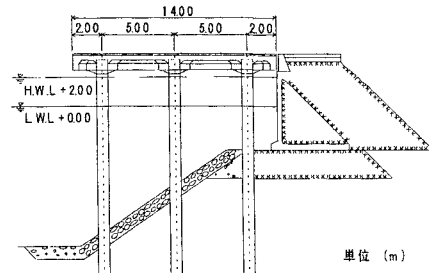


図-1 解析モデルの側面図

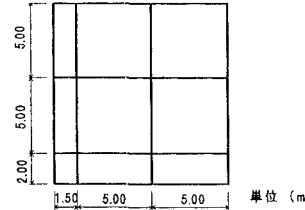


図-2 解析モデルの平面図

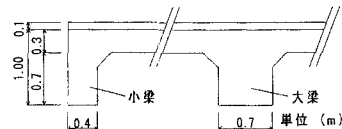


図-3 解析モデルの断面詳細図

表-1 材料強度の特性値

コンクリート		
設計基準強度 (N/mm²)	設計圧縮強度 (N/mm²)	ヤング係数 (N/mm²)
24	18.46	25000
鉄筋 (SD345)		
設計引張降伏強度 (N/mm²)	設計降伏強度 (N/mm²)	ヤング係数 (N/mm²)
345	467	20000

キーワード：桟橋上部工床版、部分等分布荷重、ピジョウの計算図表、FEM解析、終局・使用・疲労限界状態
〒239 横須賀市長瀬3-1-1 PHONE/FAX : 0468-44-5037 E-mail : nagao@cc.phri.go.jp

は固定スラブとしての条件を満たしていないため、断面力の分布は4辺固定版の分布とは異なる事が解る。最大の正曲げモーメントは荷重載荷点において生じるが、負曲げモーメントの分布は法線平行方向と直角方向で対称とならない。

2) 終局・使用限界状態の検討 表-2に終局・使用限界状態の曲げモーメントに対する検討結果を示す。ピジョウの計算図表を用いた曲げモーメントの計算結果は、特に負のモーメントに関してFEMの解析結果に対し過大な値となっており、その比は中央部では1.11～1.14程度、支承部では1.40～1.52程度となっている。そのため、必要鉄筋量もFEMの支承部ではピジョウの70%程度となり、配筋量は1ランク以上減少させることが出来る。

3) 疲労限界状態の検討 疲労限界状態の検討においては、荷役による変動荷重をP₁～P₃とP₂～P₄の2種類と考え、コンクリート・鉄筋の疲労限度をそれぞれ求めた。

表-3に疲労限界状態の検討結果を示す。コンクリート・鉄筋共に疲労限度N_f200万回を超えており、桟橋上部工床版部においては、疲労限界状態に対する検討が必要であるといえる。

4. 結論 今回の研究により、以下のようないくつかの結論を得た。

- ① 桟橋上部工床版に関して、ピジョウの計算図表により算出される曲げモーメントは、特に支承部付近の負の値については、過大に算出する傾向にある。
- ② 設計を合理化する観点からは、桟橋上部工床版の部分等分布荷重による曲げモーメント算出方法については、FEM等に基づいた手法を今後提案する必要がある。

その場合、床版部の配筋量を減少させることが出来る。

- ③ 桟橋上部工床版部においては、トラッククレーンのアウトリガー反力に関して、疲労限界状態に対する検討を原則として必要としない。

参考文献 1) 長尾毅：限界状態設計法の鉄筋コンクリート港湾構造物への適用に関する研究、港湾技術研究所報告、Vol. 33, No. 4, 1994, pp69～113.

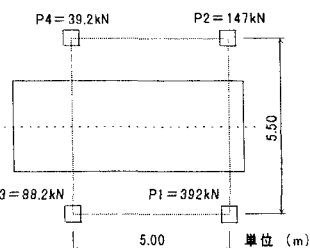


図-4 アウトリガー反力詳細図

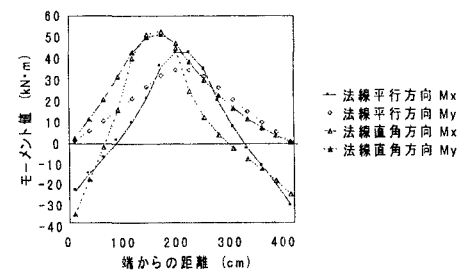


図-5 モーメント分布の一例

表-2 終局・使用限界状態に対する検討結果

状態	諸値	単位	ピジョウ				FEM				
			法線直角方向 中央部	法線平行方向 支承部	法線直角方向 支承部	法線平行方向 中央部	支承部	法線直角方向 中央部	支承部	法線平行方向 支承部	
必要鉄筋量 Asn	cm ²		15.01	11.48	16.83	12.36	13.05	8.72	14.96	7.99	
最小鉄筋量 pw > 0.002	cm ²		4.40	6.13	4.00	5.73	4.40	5.73	4.00	5.73	
配筋	径 φ	mm	D13	D13	D16	D13	D13	D19	D13	D16	
	本数	本	5	5	5	5	5	2.5	5	2.5	
	径 φ	mm	D16	D13	D16	D13	D16	D16	D16	D16	
	本数	本	5	5	5	5	5	2.5	5	2.5	
	ピッチ C _s	cm	10	10	10	10	10	20	10	20	
鉄筋量 As	cm ²		16.27	12.67	19.86	12.67	16.27	12.13	16.27	9.93	
鉄筋比 pw			0.0074	0.0041	0.0099	0.0044	0.0074	0.0042	0.0081	0.0035	
終局限界	M _d	kN·m	76.38	-84.36	76.38	-84.36	67.14	-60.37	68.65	-55.53	
	M _{ud}	kN·m	98.7	111.3	106.2	103.7	98.7	99.5	88.9	82.1	
	M _{ud} / M _d		> 1.2	1.29	1.32	1.39	1.23	1.47	1.65	1.29	1.48
使用限界	M _d	kN·m	34.46	-41.71	34.46	-41.71	30.61	-31.72	31.24	-29.70	
	△σ _s	N/mm ²	106.6	-118.1	97.4	-124.5	94.7	-98.8	106.7	-112.2	
	ひび割れ幅 w	mm	0.259	0.220	0.292	0.294	0.236	0.288	0.314	0.319	
	許容ひび割れ幅 w _m	mm	0.280	0.240	0.350	0.320	0.280	0.320	0.350	0.320	

表-3 疲労限界状態の検討結果

		疲労限度 N				
		コンクリート		鉄筋		
P1-P3	P2-P4	P1-P3	P2-P4	P1-P3	P2-P4	
ピジョウ	法線直角方向	中央	1.0E+11	6.8E+14	2.0E+08	9.3E+11
		支承	2.0E+13	4.2E+15	6.4E+08	2.5E+12
	法線平行方向	中央	2.5E+10	4.3E+14	4.6E+08	1.8E+12
FEM	法線直角方向	中央	7.0E+12	2.9E+15	3.4E+08	1.4E+12
		支承	7.4E+11	1.3E+15	7.2E+08	2.7E+12
	法線平行方向	中央	5.3E+10	5.5E+14	2.3E+08	9.5E+11
		支承	2.3E+14	1.0E+16	3.7E+09	1.3E+13